

Estas fotos figuran en el plan de litología de Montero
y en los ficheros con las siglas FB y numeración 8001 a 8062,
en vez de 1 a 62.

FOTOS SAN MARTIN DE VALDEIGLESIAS
(557-h.1722)

Fotos de Campo

Foto 1.- Aspecto general de los mármoles del dominio metamórfico de El Escorial-Villa del Prado.

Foto 2.- Metasedimentos del Dominio de El Escorial-Villa Prado.

Foto 3.- Paraneises migmatíticos plegados y leucogranitos intrusivos a favor de charnelas de pliegues en el Dominio de El Escorial-Villa del Prado en las cercanías del arroyo de Valle Fries.

Foto 4.- Metasedimentos de El Escorial con migmatización concordante en las bandas más semipelíticas.

Foto 5.- Pliegues en los metasedimentos migmatizados del Dominio de El Escorial-Villa del Prado.

Foto 6.- Aspecto de las frecuentes segregaciones migmatíticas y ocasionalmente de cuarzo, en los metasedimentos de El Escorial-Villa del Prado.

Foto 7.- Aspecto de un neis glandular con venas de cuarzo plegadas cortando leucosomas en la Carretera de Robledo de Chavela a Cebreros dentro del Dominio de El Escorial-Villa del Prado.

Foto 8.- Diatexita sobre neis glandular con enclaves de paraneises dentro del Dominio de El Escorial-Villa del Prado en la Carretera de Cebreros a Robledo de Chavela.

Foto 9.- Ortoneis glandular milonitizado por cizallias de fase dos en el Dominio de El Escorial-Villa del Prado.

Foto 10.- Nebulita diatexítica con restos de glándulas corridas, dispersas. Ortoneises glandulares de El Escorial-Villa del Prado.

Foto 11.- Inyecciones aploraníticas que a veces aprovechan el bandeado tectonometamórfico de los metasedimentos de El Escorial

Foto 12.- Granitoide heterogéneo, probablemente de origen diatexítico, que engloba fragmentos de niveles calcosilicatados muy bandeados. El Escorial.

Foto 13.- Aspecto del granitoide diatexítico al sur de Navas del Rey con multitud de cristales y agregados feldespáticos que confieren un aire oftalmítico a la roca.

- Foto 14.- "Schlierens" biotíticos subhorizontales dentro de las adamellitas con megacristales biotíticos anfibólicas de las Navas del Marqués-San Martín de Valdeiglesias al Norte del Pantano de San Juan.
- Foto 15.- Adamellita biotítica porfídica con los megacristales de feldespato potásico alineados según flujos norteados. Facies Hoyo de Pinares, en sector de Chapinería.
- Foto 16.- Aspecto del flujo lineal de los megacristales de feldespato potásico. Adamellita biotítico porfídica facies Hoyo de Pinares, en el sector de Navas del Rey.
- Foto 17.- Diquecillos aplíticos intrusivos, relativamente frecuentes en este granitoide de Hoyo de Pinares.
- Foto 18.- Adamellita porfídica de Hoyo de Pinares en un sector de mayor acumulación de megacristales feldespáticos, claramente orientados.
- Foto 19.- Dique aplítico con diferenciaciones de flujo paralelas a las paredes del mismo. Es intrusivo en la adamellita facies Hoyo de Pinares.
- Foto 20.- Enclave doble, de carácter microgranular básico, en la adamellita biotítico-cordierítica porfídica (facies Hoyo de Pinares), en los alrededores de Chapinería.
- Foto 21.- Enclave doble, parcialmente digerida su segunda unidad. Adamellitas porfídicas (facies Hoyo de Pinares) en las proximidades de Chapinería.
- Foto 22.- Enclave microgranular dentro de la adamellita con megacristales biotítico-anfibólica de las Navas del Marqués-San Martín de Valdeiglesias al sur del Pantano de San Juan.
- Foto 23.- Pasillo de enclaves microgranulares tonalíticos dentro de las granodioritas-adamellitas foliadas en la alineación de Almeranara.
- Foto 24.- "Schlieren" irregular dentro de las adamellitas con megacristales biotítico-anfibólicas de Las Navas del Marqués-San Martín de Valdeiglesias en la cantera de la Presa del Embalse de San Juan.
- Foto 25.- Pequeña cavidad miarolítica en la adamellita con megacristales biotítico-anfibólica de Las Navas del Marqués-San Martín de Valdeiglesias

Foto 26.- Aspecto de las facies micropegmatíticas de los leucogranitos aplopegmatíticos heterogéneos al Sur del Pantano de San Juan.

Foto 27.- Facies centrales de un pórfito granítico en el sector de Navas del Rey.

Foto 28.- Aspecto general del dique de lamprófido camptonítico de Hoyo de Pinares; obsérvese la presencia de fenocristales de anfibol y piroxeno en los sectores centrales del dique.

Fotos de microscopio

- Foto 29.- La. 9286. Diópsido y Vesubiana en un marmol calcítico de El Dominio de El Escorial-Villa del Prado. L.P.
- Foto 30.- La. 9227. Mármo con tremolita y flogopita de El Dominio de El Escorial-Villa del Prado. L.P.
- Foto 31.- La. 9076. Sillimanita microplegada incluida en cordierita dentro de los metasedimentos pelíticos del Dominio de Es Escorial-Villa del Prado. L.N.
- Foto 32.- La. 9129. Andalucita generada durante el M3 dentro de los metasedimentos predominantemente pelíticos del Dominio de El Escorial-Villa del Prado. L.N.
- Foto 33.- La. 9162. Cristal de granate en los metasedimentos del Dominio de El Escorial-Villa del Prado. L.N.
- Foto 34.- La. 9087. Aspecto de un cuarzo-esquisto de dos micas. L.P.
- Foto 35.- La. 9204. Aspecto general de un neis plagioclásico de grano fino dentro de los metasedimentos del Dominio de El Escorial-Villa del Prado. L.P.
- Foto 36.- La. 9081. Neis plagioclásico biotítico de los metasedimentos samíticos del Dominio de El Escorial-Villa del Prado. L.P.
- Foto 37.- La. 9083. Feldespato potásico precinemático en un ortoneis glandular L.P.
- Foto 38.- La. 9271. Borde de plagioclasa alrededor de feldespato potásico en un ortoneis glandular del Dominio de El Escorial-Villa del Prado. L.P.
- Foto 39.- La. 9273. Aspecto de un neis glandular de El Dominio de El Escorial-Villa del Prado. L.N.
- Foto 40.- La. 9220. Porfidoclastos de plagioclasa y feldespato potásico en un ortoneis glandular milonítico del Dominio de El Escorial-Villa de Prado. L.N.
- Foto 41.- La. 9282. Agregado en mortero de biotita, feldespato potásico y cuarzo en un leucogranito biotítico sintectónico. L.P.
- Foto 42.- La. 9241. Biotita incluida en la plagioclasa de una migmatita del Dominio de El Escorial-Villa del Prado. L.P.

- Foto 43.- La. 9136. Anfíboles y biotita en una cuarzodiorita del Complejo básico-intermedio. L.N.
- Foto 44.- La. 9099. Cuarzo recristalizado en las adamellitas foliadas. L.P.
- Foto 45.- La. 9016. Aspecto microscópico de las adamellitas granodioritas porfídicas biotíticas foliadas. L.P.
- Foto 46.- Fenocristales de plagioclasa en un enclave microgranular deformado dentro de las adamellitas porfídicas foliadas. L.P.
- Foto 47.- La. 9104. Aspecto general de la adamellite porfídica de tipo Hoyo de Pinares. L.N.
- Foto 48.- La. 9155. Cristal subdiomorfo de plagioclasa con inclusiones de biotita en la adamellite porfídica de tipo Hoyo de Pinares. L.P.
- Foto 49.- La. 9145. Aspecto de la adamellite porfídica de Hoyo de Pinares. L.P.
- Foto 50.- La. 9074. Cristal de plagioclasa con zonado en "parches" dentro de la adamellite porfídica de Hoyo de Pinares. L.P.
- Foto 51.- La. 9278. Aspecto general de la adamellite porfídica de tipo Hoyo de Pinares. L.P.
- Foto 52.- La. 9173. Disposición orientada de la biotita en la adamellite porfídica de tipo Hoyo de Pinares. L.P.
- Foto 53.- La. 9101. Cristales subporfidicos de cuarzo y biotita en un enclave en la adamellite porfídica de tipo Hoyo de Pinares. L.N.
- Foto 54.- La. 9147. Contacto entre un enclave microgranular tonalítico y la adamellite porfídica de tipo Hoyo de Pinares. L.P.
- Foto 55.- La. 9171. Microagregado granoblástico de plagioclasa alrededor de espinela en la adamellite porfídica de tipo Hoyo de Pinares. L.P.
- Foto 56.- La. 9144. Cataclastita en adamellite porfídica del tipo Hoyo de Pinares. L.P.
- Foto 57.- La. 9096. Aspecto de un enclave de granito microporfídico en la adamellite con megacristales tipo Navas del Marqués-San Martín de Valdeiglesias. L.P.

Foto 58.- La. 9217. Fenocristales de plagioclasa en un enclave microgranular incluido en la adamellita con megacristales de tipo Navas del Marqués-San Martín de Valdeiglesias. L.P.

Foto 59.- La. 9114. Leucogranito aglopegmatítico con moscovita de carácter subsólido. L.P.

Foto 60.- La. 9188. Agregado de biotita y micas blancas en un pórfido granítico. L.P.

Foto 61.- La. 9109. Aspecto general de un pórfido granítico. L.P.

Foto 62.- La. 9148. Fenocristales de plagioclasa, cuarzo y biotita en un pórfido granítico. L.P.



1



2



3



4





6



7





9



10





12



13



14



15





17





19

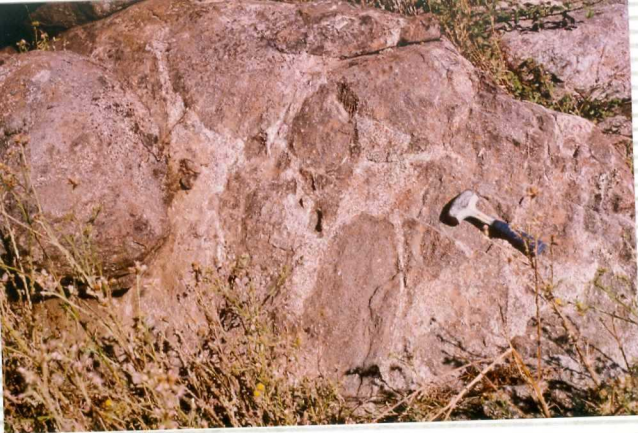


20



21









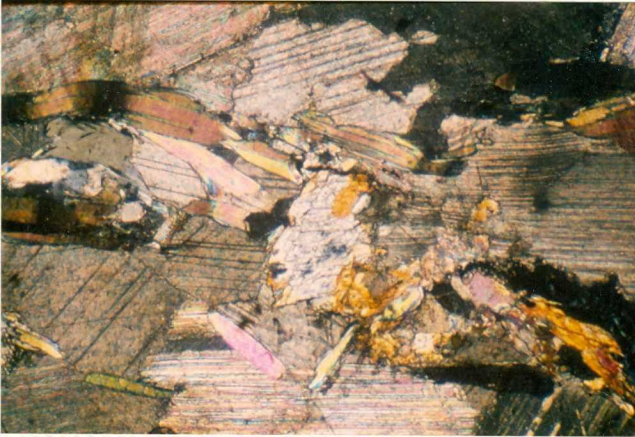
25



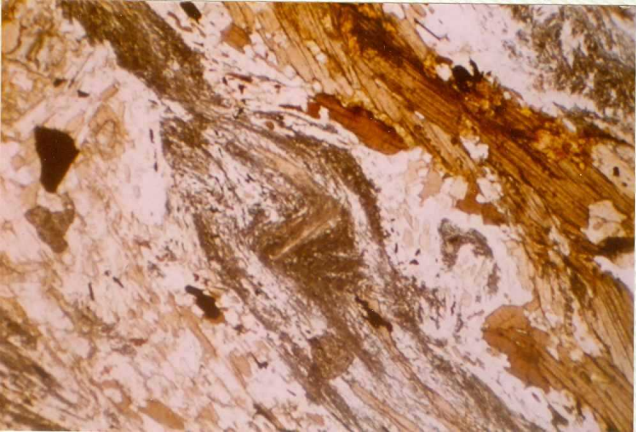
27

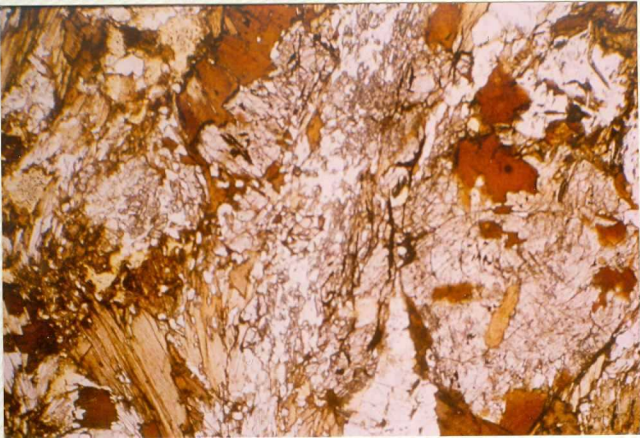




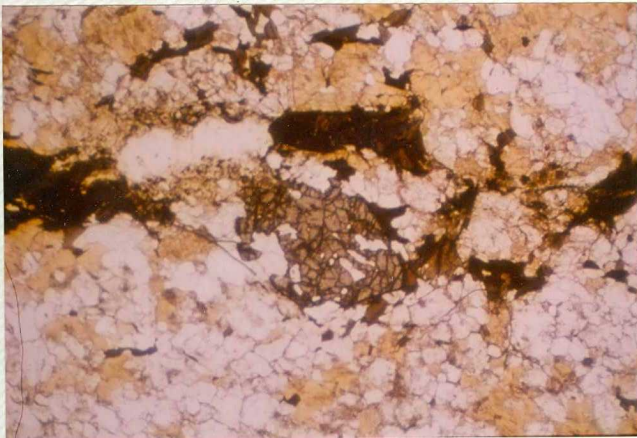


30

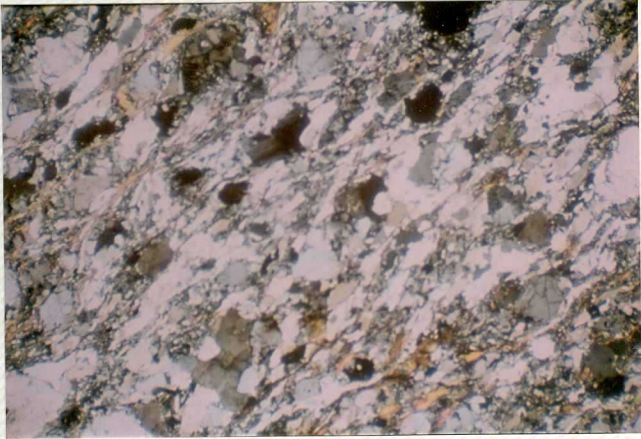




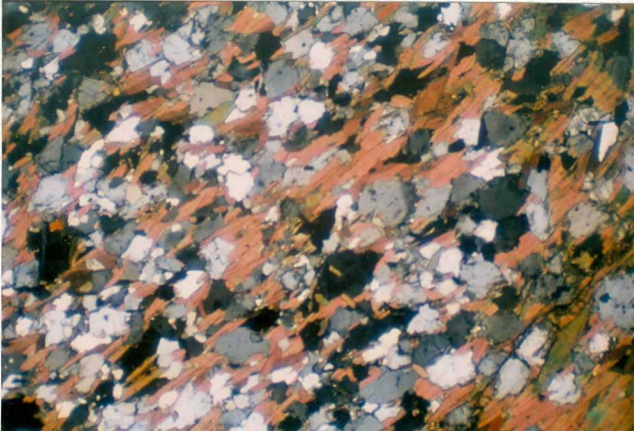
32



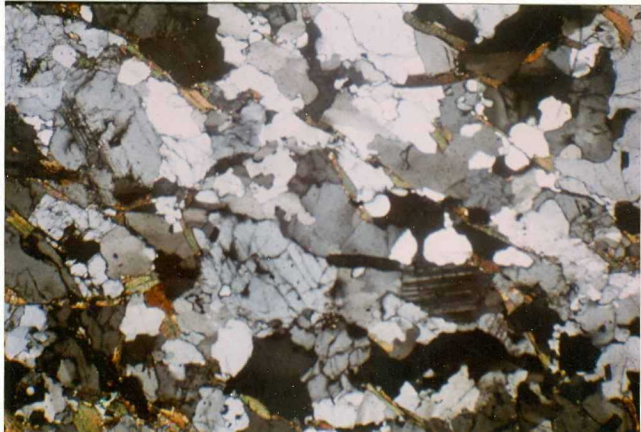
33



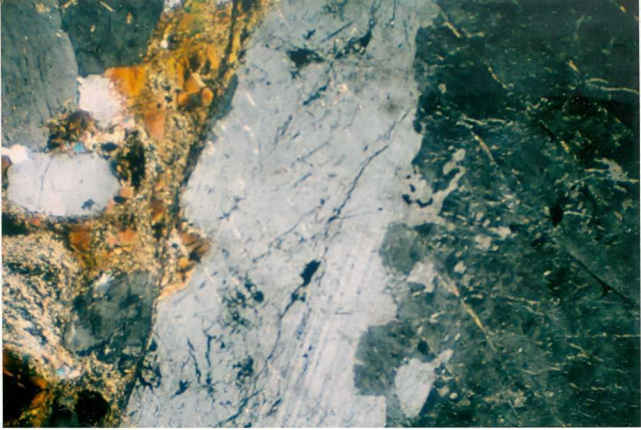
34



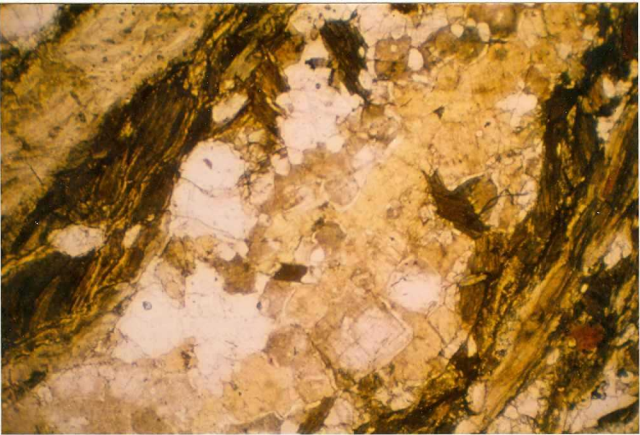
35



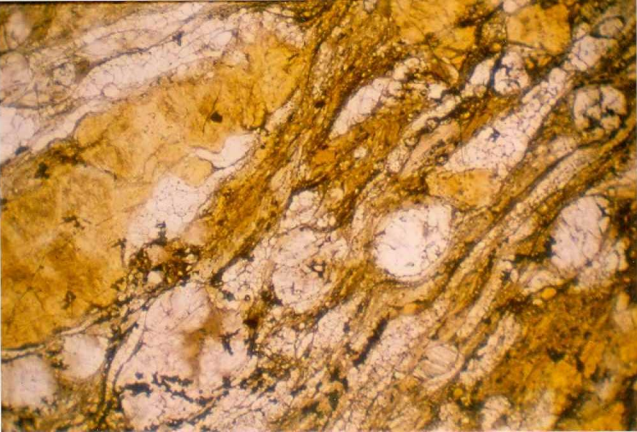
36



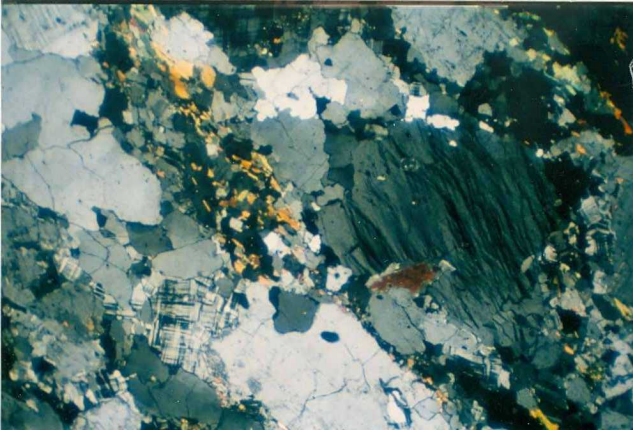
38



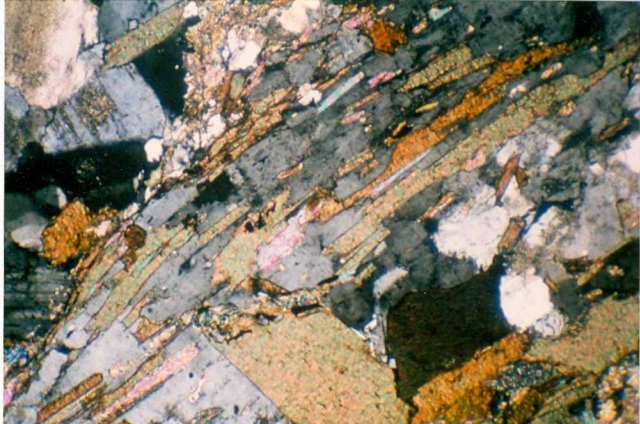
39



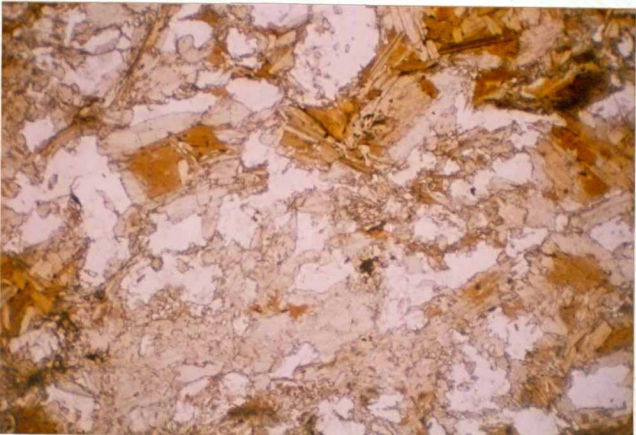
40



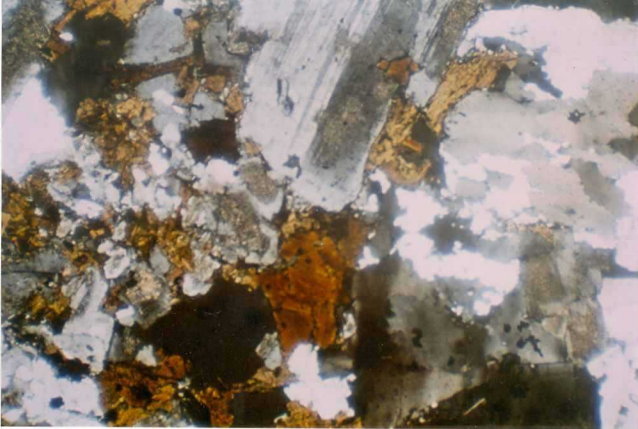
41



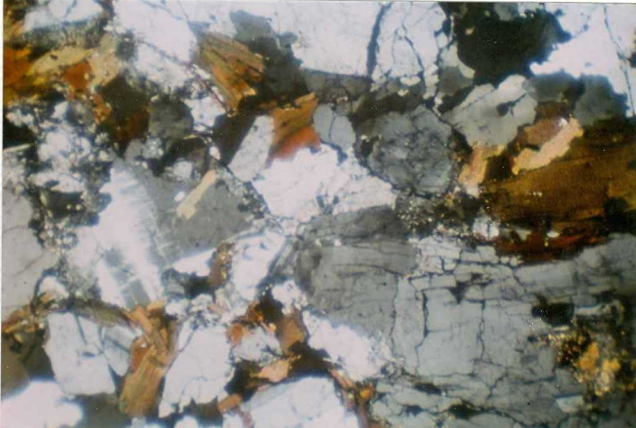
42



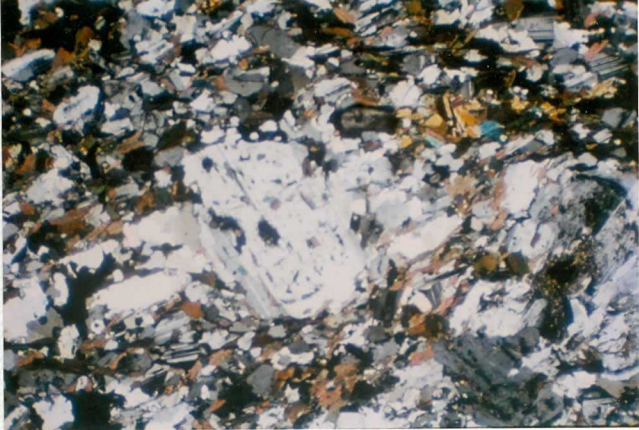
43



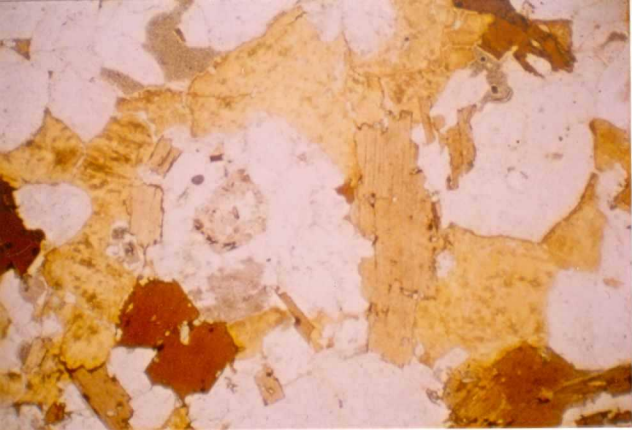
44



45



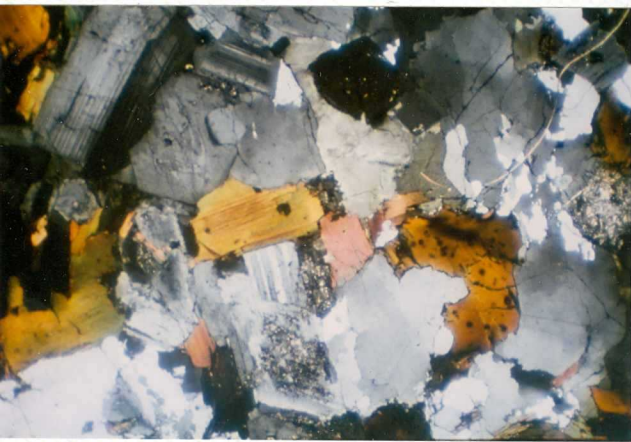
46



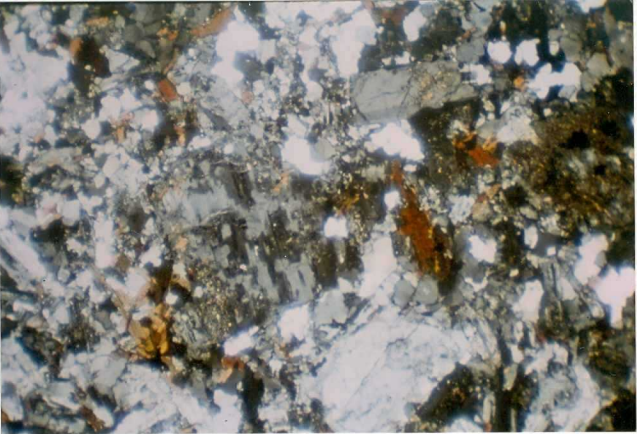
47



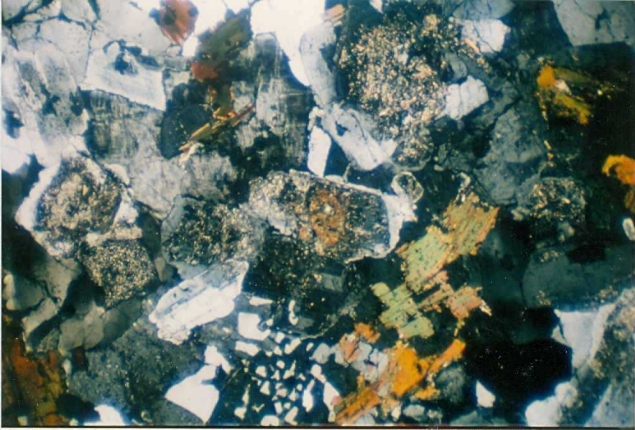
48



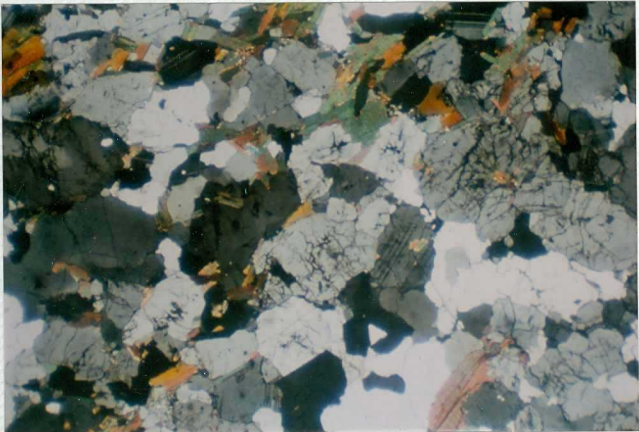
49



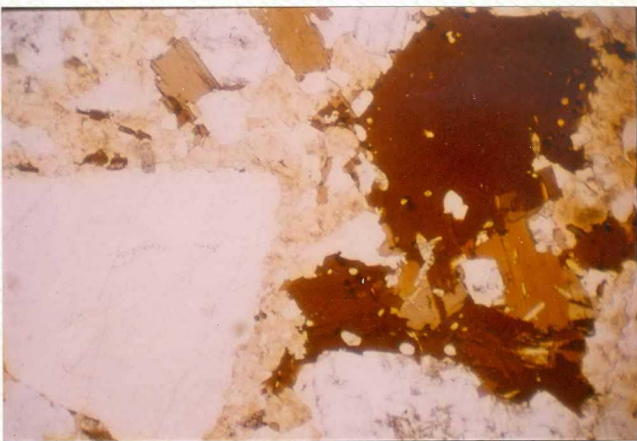
50



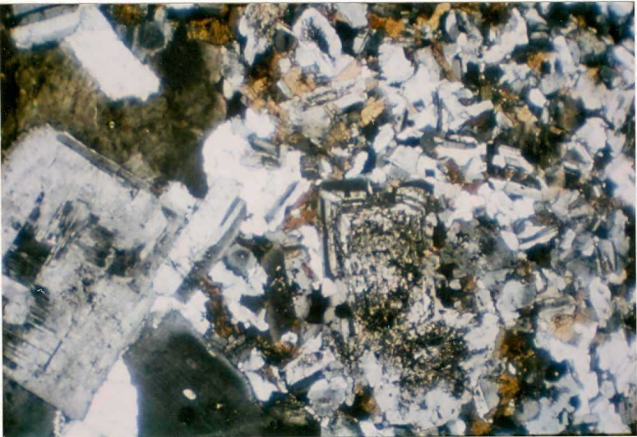
51



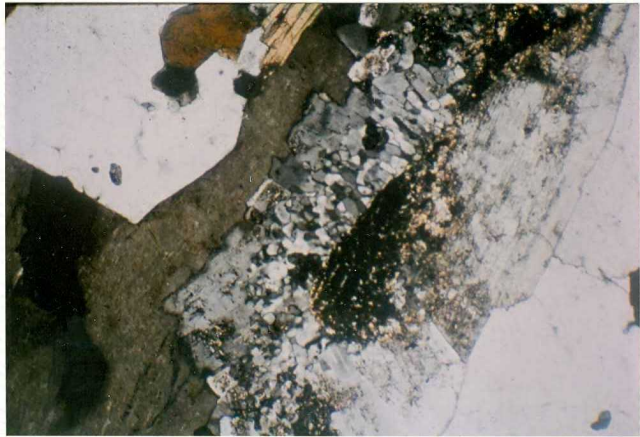
52



53

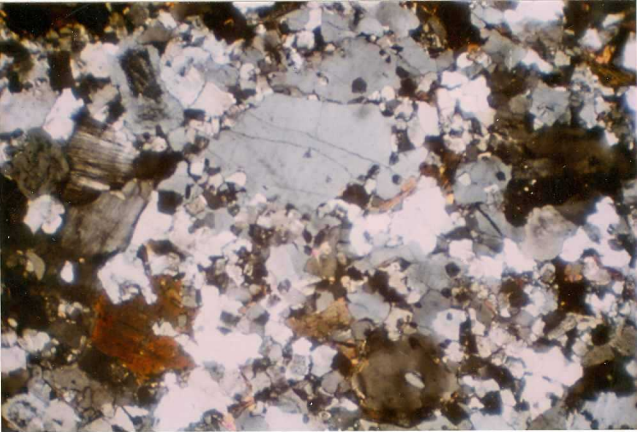


54

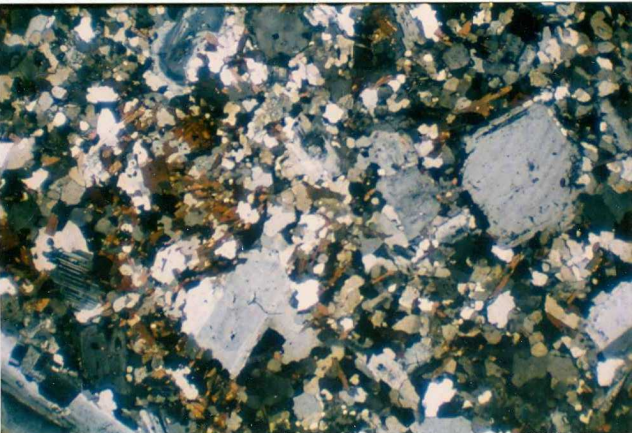




56



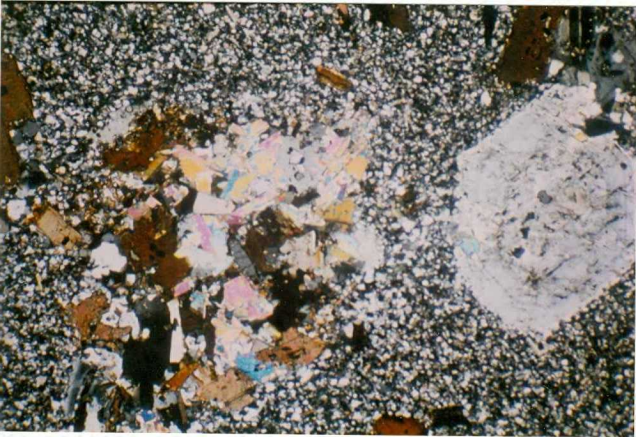
57



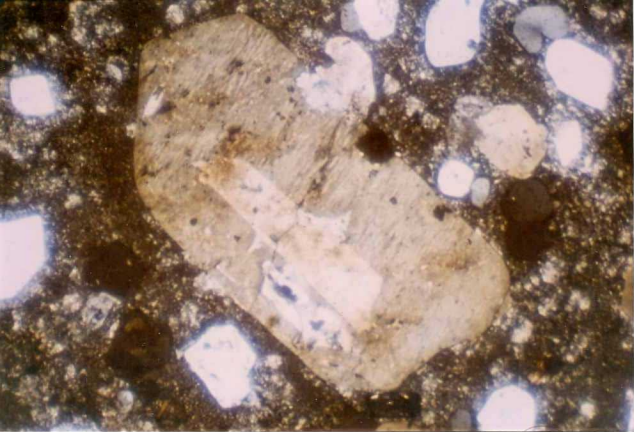
58



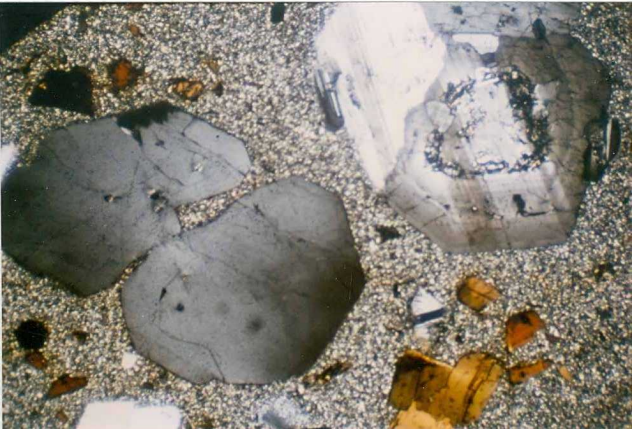
59



60



61



62